



## تحلیل حساسیت کرنش و ولتاژ پیش‌بینی شده در برداشت کننده انرژی با آلیاژ حافظه دار مغناطیسی به روش PAWN

مجتبی عفت‌پناه حصاری<sup>۱</sup>، محمدامین عسکری فرسنگی<sup>۲</sup>، حسن صیادی<sup>۳\*</sup>

۱- فارغ التحصیل کارشناسی ارشد، مهندسی مکانیک، دانشگاه صنعتی شریف، تهران

۲- فارغ التحصیل دکتری، مهندسی مکانیک، دانشگاه صنعتی شریف، تهران

۳- استاد، مهندسی مکانیک، دانشگاه صنعتی شریف، تهران

\* تهران، صندوق پستی ۱۱۱۵۵-۹۵۶۷

syyaadi@sharif.ir

### چکیده

در این مقاله تحلیل حساسیت کلی کرنش پیش‌بینی شده به وسیله مدل برداشت کننده انرژی از ارتعاشات با آلیاژ حافظه دار مغناطیسی ارائه شده است. در مدل انتخاب شده، قطعه‌های آلیاژ به یک تیر دو سر درگیر متصل شده‌اند و سیم پیچ به دور آن‌ها پیچیده شده است. بار ضربه‌ای به جرم محک متعلق در وسط تیر اعمال می‌شود. ارتعاشات حاصل از این ضربه باعث ایجاد کرنش در تیر و آلیاژ می‌گردد. به‌منظور برداشت انرژی از تیر، با محدودیت‌هایی مواجه هستیم که یکی از آن‌ها کرنش ایجاد شده در آلیاژ می‌باشد. با زیاد شدن کرنش با توجه به پیش‌بینی شده اعمال شده، آلیاژ از حالت فشاری خارج می‌گردد و باعث عدم کارایی مدل می‌گردد. همچنین زیاد شدن این کرنش از حد مجاز نتایج پیش‌بینی شده را تحت تأثیر قرار می‌دهد. بدین ترتیب روش PAWN به عنوان یک روش کارآمد و آسان برای تحلیل حساسیت کلی مدل نسبت به ورودی‌ها معرفی می‌گردد. سپس مدل درنظر گرفته شده با روش معرفی شده، تحلیل می‌شود و اثر هر یک از ورودی‌ها بر خروجی مدل معرفی می‌گردد. در ادامه با توجه به اهمیت ولتاژ برداشت شده، تحلیل حساسیت و رتبه‌بندی پارامترها انجام می‌گردد. همچنین با استفاده از آزمون دو-نمونه‌ای کولموگروف-اسمیرنوف نشان داده شد که در طراحی برداشت کننده و بهینه‌سازی آن با توجه به کرنش می‌توان طول، ضخامت و عرض آلیاژ و با توجه به ولتاژ می‌توان ارتفاع تیر را در محدوده مکریم و مینیمم بررسی شده و با معیار مورد نظر، ثابت درنظر گرفت.

### اطلاعات مقاله

مقاله پژوهشی کامل

دریافت: ۰۱ آبان ۱۳۹۶

پذیرش: ۲۷ اذر ۱۳۹۶

ارائه در سایت: ۲۲ دی ۱۳۹۶

کلید واژگان:

آلیاژ حافظه دار مغناطیسی

برداشت کننده انرژی

سازه کوپل با آلیاژ

تحلیل حساسیت کلی

شاخص حساسیت

## Global sensitivity analysis of predicted strain and voltage from magnetic shape memory alloy based energy harvester using PAWN method

Mojtaba Effatpanah Hesari, Mohammad Amin Askari Farsangi, Hassan Syyaadi\*

School of Mechanical Engineering, Sharif University of Technology, Tehran, Iran

\* P.O.B. 11155-9567, Tehran, Iran, syyaadi@sharif.ir

### ARTICLE INFORMATION

Original Research Paper

Received 23 October 2017

Accepted 18 December 2017

Available Online 12 January 2018

#### Keywords:

Magnetic shape memory alloy

Energy harvester

Beam coupled with MSMA

Global sensitivity analysis

Sensitivity index

### ABSTRACT

In this paper, Global sensitivity analysis of predicted strain from clamped-clamped beam magnetic shape memory alloy based energy harvester with PAWN method is presented. In the selected model MSMA units attached to the roots of clamped-clamped beam while coil wrapped around MSMA. A shock load is applied to a proof mass in the middle of the beam. As a result of beam vibration a longitudinal strain is produced in the MSMA and beam. There are limits to harvest energy from this model and one of them is the strain applied to the MSMA. As the strain increases with respect to the applied pre-strain, the MSMA exits the compression region and causes the model to fail. When strain exceeds limits also affect the predicted result. Thus PAWN method as an efficient and easy way for global sensitivity analysis of the inputs has been taken into account. Then the model is analyzed with introduced method to determine the effect of each input on the output. In the following, due to the importance of the harvested voltage, the sensitivity analysis and ranking of inputs are performed. Moreover, using two-sample Kolmogorov-Smirnov test it is shown that for design and optimization of model with respect to strain one can fix thickness, width and length of MSMA while studying model in corresponding maximums and minimums and also with respect to RMS voltage and similar test the width of the beam can be fixed.

تمامی این اجزا نیاز به توان کافی برای عملکرد صحیح دارند بنابراین

منبع تأمین توان مسئله مهمی است که باید به آن توجه شود. یکی از منابع مرسوم برای تأمین توان لازم، استفاده از باتری‌هاست. عمر محدود باتری‌ها و

### ۱- مقدمه

به‌طور کلی سیستم‌های سنجش از راه دور شامل سنسورها، مدارهای

الکترونیکی تصحیح/یهود سیگنال و فرستنده‌ها هستند [1].

برای ارجاع به این مقاله از عبارت ذیل استفاده نمایید:

M. Effatpanah Hesari, M. A. Askari Farsangi, H. Syyaadi, Global sensitivity analysis of predicted strain and voltage from magnetic shape memory alloy based energy harvester using PAWN method, *Modares Mechanical Engineering*, Vol. 18, No. 01, pp. 317-326, 2018 (in Persian)

- است ابعاد قطعه در فرایند ساخت با مقدار طراحی شده متفاوت باشد.
  - عدم قطعیت مدل: عدم قطعیت ناشی از دقیق نبودن مدل ریاضی برای پیش‌بینی خروجی در مقایسه با شرایط حقیقی که منشأ آن نبود دانش کافی است. برای مثال در مدل ساده سقوط آزاد، اصطکاک با هوا در نظر گرفته نمی‌شود.
  - عدم قطعیت محاسبات: عدم قطعیت ناشی از خطاهای عددی و تقریب‌ها در اجرای مدل ریاضی. برای مثال تقریب‌هایی که در حل معادلات دیفرانسیل پاره‌ای در مدل‌های پیچیده استفاده می‌شود.
- در این مقاله، ابتدا مروری بر کارهای انجام شده در زمینه تحلیل حساسیت برداشت کننده انرژی و برداشت اثری از محیط با آلیاز حافظه‌دار مغناطیسی انجام می‌شود. سپس مدل برداشت کننده انرژی موردنظر معرفی می‌گردد. در قسمت بعد روش آنالیز حساسیت به کار رفته، توضیح داده می‌شود. سپس آنالیز حساسیت مدل نسبت به پارامترهای ورودی انجام می‌گردد. با توجه به اهمیت ولتاژ خروجی در برداشت کننده‌های انرژی، نتایج تحلیل حساسیت ورودی‌ها بر ولتاژ خروجی نیز ارائه می‌گردد.

## 2- مرور بر کارهای انجام شده در زمینه تحلیل حساسیت برداشت

### کننده انرژی

با تحلیل حساسیت مدل می‌توان اثر هر یک از ورودی‌ها را بر خروجی مشخص نمود. عبدالکفی و همکاران [5] با در نظر گرفتن یک مدل برداشت کننده انرژی پیزوالکتریکی و روش گسترش آشوب چندجمله‌ای، تجزیه و تحلیل حساسیت اثر مقاومت بار، فاصله بین مرکز جرم و محور الاستیک و ضرایب فترهای غیرخطی استفاده شده در سیستم را بررسی کردند. بن‌ایاد و همکاران [6] اثر تغییر شکل را بر روی تیر یکسر گیردار به عنوان برداشت کننده انرژی پیزوالکتریکی بررسی کردند و اثر مقاومت الکتریکی و پارامترهای هندسی را بر عملکرد سیستم بررسی نمودند.

ژیمايو یان و همکاران [7] انرژی برداشت شده از ارتعاشات یک بلطف بدای دارای سطح مقطع مثلثی با استفاده از پیزوالکتریک را مورد بررسی قرار دادند و با آنالیز خطی اثر مقاومت الکتریکی و سرعت باد را بررسی نمودند.

## 3- مرور بر کارهای انجام شده در زمینه برداشت انرژی از آلیازهای مغناطیسی

در برداشت انرژی از آلیازهای حافظه‌دار مغناطیسی، با ایجاد کرنش در این ماده، میدان مغناطیسی اطراف آن تغییر می‌کند. با استفاده از یک سیم‌پیچ و با توجه به قانون القای فارادی می‌توان از تغییرات میدان مغناطیسی، انرژی الکتریکی برداشت نمود. از مزیت‌های این آلیاز در مقایسه با مواد دیگر می‌توان به طول عمر بالا، قابلیت استفاده در فرکانس‌های پایین، امکان اعمال تحریک با دامنه بالا و عدم محدودیت به کارکرد در شرایط تشدید اشاره نمود. همچنین نیاز به سیم‌پیچ و میدان مغناطیسی بایاس و کارکرد در شرایط دمایی مشخص از محدودیت‌های این روش هستند [8].

در سال 2007، کارامان [9] و همکاران با انجام آزمایش برای برداشت انرژی به‌وسیله آلیاز حافظه‌دار تحت بار سیکلی با فرکانس ۱ تا ۵ هertz اثرات دامنه کرنش و فرکانس را بر مانکریم ولتاژ و توان گزارش کردند. در سال 2008، ساراویت و داپینو [10] با در نظر گرفتن اثرات دینامیکی، مدلی از یک قطعه آلیاز حافظه‌دار ارائه نمودند. آن‌ها نشان دادند که با افزایش فرکانس،

در نتیجه اجبار بر تعویض، باعث شده تا حد امکان از آن‌ها استفاده نشود. با توسعه مدارهای الکترونیکی استفاده از سیستم‌های انتقال بی‌سیم که توان مصرفی پایینی دارند، گسترش یافت. برای مثال یک شبکه حسگر بی‌سیم که شامل سنسورها، فرستنده و ... با دوره کاری کم می‌باشد، مصرفی کمتر از 100 میکرووات دارد [2]. بدین ترتیب لزوم تأمین انرژی این ادوات توجه زیادی را به انرژی ارتعاشات به عنوان یک منبع مناسب برای تأمین انرژی معطوف کرده است [3].

انرژی ارتعاشی را می‌توان با مواردی از جمله پیزوالکتریک، الکترومگنتیک، الکترواستاتیک، مگنتواسترکتیک، پلیمرهای الکترواکتیو از الکتریکی استودمربدیالکتریک و درنهایت آلیازهای حافظه‌دار مغناطیسی به انرژی الکتریکی تبدیل کرد [4]. در این تحقیق از تیر دوسرگیردار در حالت کوپل با آلیاز حافظه‌دار مغناطیسی، به عنوان مدل برداشت کننده انرژی از ارتعاشات استفاده شده است. به علت ماهیت گوناگون نیروهای موجود در طبیعت، نیروی اعمالی به سازه می‌تواند به روش‌های متعددی از جمله بار ضربه‌ای وارد شود. ضربه‌ای اعمالی به پاشنه‌ی پا در هنگام راه رفتن، افتادن قطرات آب بر روی یک سطح و عبور ماشین از روی سرعت‌گیر از جمله مواردیست که می‌توان بار اعمالی را به صورت ضربه مدل نمود. با توجه به آن‌که پاسخ سیستم به بار ضربه‌ای در مواردی با پاسخ آن به دیگر انواع نیروها تفاوت دارد، لذا بررسی تحلیل بار ضربه‌ای حائز اهمیت می‌باشد. اگرچه تیر طره در برداشت کننده‌های انرژی مورد مطالعه بیشتری قرار گرفته، ولی برداشت کننده‌های دو سر درگیر دارای مزایایی نسبی بوده که بررسی آنان را مهم می‌کند. یکی از این موارد غیرخطی کردن سیستم برداشت کننده در تیر دوسر درگیر بوده که موجب افزایش باند فرکانسی و در نتیجه افزایش انرژی برداشتی از مجموعه می‌شود. از موارد دیگر آن که به دلیل وجود دو تکیه‌گاه در دو انتهای تیر، آلیازهای نصب شده کرنش بیشتری را تجربه می‌کنند و در نتیجه انرژی برداشتی از ارتعاشات افزایش می‌یابد. همچنین در تیر دو سر درگیر به دلیل بالاتر بودن فرکانس طبیعی، در هنگام اعمال بار ضربه‌ای نوسانات و در نتیجه تغییرات شار سریع تر خواهد داشت. از چالش‌های مدل‌سازی که در دهه‌های اخیر به آن توجه زیادی شده است، تعداد زیاد متغیر تصادفی است که در پارامترهای ورودی و ثابت سیستم وجود دارد. به عنوان مثال، مشخصات مدل از تعدادی پارامتر که دارای ماهیت تصادفی می‌باشند مانند هندسه، محل اثر بار و ... تأثیر می‌بздیرد. اثر عدم قطعیت‌های متغیرهای ورودی روی پاسخ مدل با استفاده از تحلیل حساسیت بررسی می‌شود. بدین ترتیب اهمیت هر یک از پارامترهای ورودی و تاثیر آن‌ها روی خروجی تعیین می‌گردد.

تحلیل حساسیت کلی<sup>1</sup> مجموعه‌ای از تکنیک‌های ریاضی باهدف بررسی انتشار عدم قطعیت در یک مدل عددی است. تحلیل حساسیت کلی را می‌توان به طور خاص در یک سیستم سه‌بعدی متابع مختلف عدم قطعیت در تغییرات خروجی مدل تعریف کرد. برخی از مatabع عدم قطعیت در خروجی مدل عبارتند از:

- عدم قطعیت در پارامترهای ثابت: عدم قطعیت در پارامترهای ثابتی که به مدل وارد می‌شوند و مقدار دقیق آن‌ها مشخص نیستند یا قابل کنترل نمی‌باشند. برای مثال تغییرات خواص مواد در یک تحلیل المان محدود، یا شتاب محلی گرانش زمین
- تغییرپذیری پارامترها: عدم قطعیت ناشی از تغییر در پارامترهای ورودی مدل که منشأ آن ترانس‌ها و ... می‌باشد. برای مثال ممکن

<sup>1</sup> Global sensitivity analysis (GSA)

آلیاز ایجاد می گردد. با تغییر کرنش در آلیاز، شار مغناطیسی داخل سیم پیچ تغییر کرده و این تغییر شار با وجود میدان بایاس در جهت عرضی باعث تولید ولتاژ AC در سیم پیچ های بالا و پایین می گردد. بهمنظور جلوگیری از بازگشت شار از سیم پیچ فرض شده است که سیم ها از داخل شیاری که در نزدیکی سطح تیر ایجاد شده، عبور کرده اند به طوری که سطح مقطع سیم پیچ تا حد امکان به سطح مقطع آلیاز نزدیک باشد. برای جلوگیری از ایجاد نیروهای کششی در آلیاز، در میدان بایاس صفر آلیاز تحت بار گذاری اولیه قرار می گیرد. بدین ترتیب پیش کرنش هایی به مقدار دلخواه در آن ایجاد می گردد [15].

کرنش کنشی ایجاد شده در تیر دو سر در گیر در هنگام ارتعاش موجب غیرخطی شدن سفتی تیر و درنتیجه افزایش پهنهای باند فرکانسی می شود.

در مرجع [15] برای به دست آوردن معادلات حاکم بر سازه از اصل همیلتون استفاده شده است. با در نظر گرفتن شکل بار خارجی اعمالی به سازه به صورت یک پالس مستطیلی و با جایگذاری ترم های مجازی در معادله همیلتون به معادله زیر بر حسب جایجا ی عرضی خواهیم رسید:

$$M\ddot{q}_w + K_1 q_w + K_3 q_w^3 + K_5 q_w^5 = \bar{K}_0 + \bar{K}_1 q_w + \bar{K}_3 q_w^3 + \bar{F} \quad (1)$$

در این معادله  $M$ ،  $K_i$  ها،  $\bar{K}_i$  ها و  $\bar{F}$  ثوابتی هستند که با محاسبه انتگرال هایی که در مرجع [15] ارائه شده است، به دست می آیند. این معادله با معادلات جهت گیری مجدد مارتزیت کوپل می باشد.

$$\begin{aligned} \pi^\xi &= \sigma \varepsilon^{r,\max} + \frac{1}{2} \Delta S \sigma^2 - \mu_0 M^{\text{sat}} H_x^{\text{eff}} (\cos \theta_3 + \sin \theta_4) \\ &+ \mu_0 M^{\text{sat}} H_z^{\text{eff}} (\cos \theta_4 - \sin \theta_3) \\ &+ \rho K_1 (\sin^2 \theta_3 - \sin^2 \theta_4) - \frac{\partial f^\xi(\xi)}{\partial \xi} \end{aligned} \quad (2)$$

$\pi^\xi$  نیروی محرکه ترمودینامیکی است که با مشتق گیری جزئی از تابع انرژی آزاد گیبس بر حسب نسبت حجم ورینت مارتزیت نوع 2 ( $\xi$ ) به دست آمده است. در این معادلات  $\sigma$  تنش اعمالی،  $\varepsilon^{r,\max}$  بیشترین کرنش حاصل از جهت گیری مجدد ورینت ها،  $\Delta S$  تغییرات تعییرات نرمی آلیاز،  $\mu_0$  ضریب نفوذناپذیری خلا،  $M^{\text{sat}}$  مغناطش اشباع،  $\theta_i$  زاویه بین بردار مغناطش و محور آسان بوده و اندیس آن به ناحیه مغناطیسی اشاره می کند،  $H^{\text{eff}}$  میدان داخلی موثر،  $\rho K_1$  انرژی ناهمسانگردی مغناطیسی،  $(\xi)$  تابع سخت شوندگی است.

حل این معادلات با توجه به وابستگی اشاره شده و نیاز به حل همزمان آنها با اطلاع از جهت گیری مجدد ورینت ها، بسیار دشوار است. بدین ترتیب برای رسیدن به جواب، یک روش عددی - تدریجی استفاده شده است. در این روش نیروی خارجی به صورت تدریجی اعمال شده و معادله (1) در هر مرحله به صورت عددی حل می شود. مقدار جدید  $\xi$  به دست آمده از معادله (2)، مجددا در معادله (1) با همان بازه زمانی قرار داده می شود. بدین ترتیب در این روش اگر مقدار به دست آمده از محاسبه قبلی از حد تعیین شده کمتر باشد، حل به مرحله بعد می رود و در غیر این صورت محاسبات مرحله فعلی تکرار می گردد.

چگالی شار مغناطیسی  $B$  تلفیقی از مغناطیس داخلی آلیاز و میدان اعمالی می باشد که با معادله زیر معرفی می شود:

$$B = \mu_0 (H^{\text{app}} + M_x) \quad (3)$$

با حل این معادلات می توان کرنش ها و چگالی شار مغناطیسی را به دست آورد و درنهایت با استفاده از قانون القای فارادی، ولتاژ القا شده در سیم پیچ با تعداد  $N$  حلقه و با سطح مقطع  $A$  را یافت.

$$V = -NA \frac{\partial B}{\partial t} \quad (4)$$

پاسخ تنش - کرنش تقریباً ثابت مانده، در حالی که چگالی شار - کرنش با افزایش هیسترزیس رو برو شده است. برونو در سال 2011 [11] برداشت انرژی از جهت گیری مجدد ورینت های مارتزیت NI<sub>50</sub>MN<sub>28.5</sub>GA<sub>21.5</sub> در حضور میدان مغناطیسی بایاس تحت بار فشاری بررسی کرد. در این مدل سازی رفتار آلیاز حافظه دار مغناطیسی به کمک روابط ساختاری پایه ترمودینامیکی در نظر گرفته شده است.

در سال 2013 نلسون و همکاران [12] با محاسبات تئوری و انجام آزمایش های تجربی با استفاده از تجهیزات برongo اثرات شرایط مرزی دو سر نمونه آلیاز را روی ولتاژ برداشتی بررسی کردند. در این آزمایش نشان داده شد که وقتی نمونه به صورت دوسر گیردار تحت کرنش قرار گیرد ولتاژ بیشتری نسبت به حالت یکسر در گیر تولید می شود.

در سال 2015 سارن [13] آلیاز را به صورت مکانیکی بین فرکانس های 130 تا 300 هرتز مورد ارتعاش داد و با ارائه مدل دیگر و بهینه سازی توانست توان 69.5 mW در فرکانس 195 Hz بدهد. در سال 2016 عسکری و همکاران [14] با ارائه مدل آلیاز حافظه دار مغناطیسی در حالت کوپل با تیر یکسر در گیر، با اعمال بار ضربه ای و اثر پارامترهای مختلف بر میزان ولتاژ خروجی مورد مطالعه قرار دادند.

در سال 2016 صیادی و همکاران [15] با توجه به برداشت بیشتر انرژی از تیر دوسر در گیر، مدل آلیاز کوپل شده با تیر دوسر در گیر را ارائه نمودند و به بهینه سازی پارامترهای هندسی پرداختند.

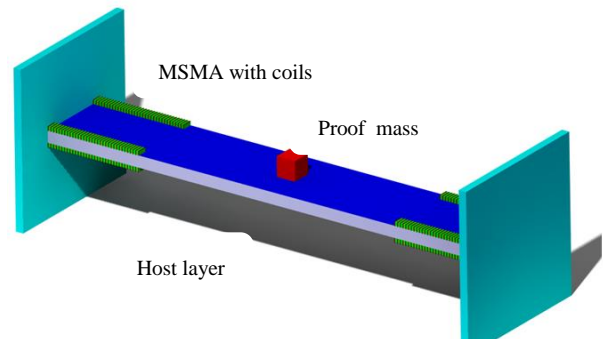
با توجه به کارهای انجام شده و پیجیدگی مدل های به کار رفته برای برداشت انرژی از آلیاز حافظه دار مغناطیسی، داشتن دید روشن از تاثیر پارامترها بر خروجی مدل (به صورت مجزا) و استفاده از آن در بهینه سازی، طراحی آزمایش و تحلیل عدم قطعیت ها بشدت موردنیاز است. بدین ترتیب در این مقاله با استفاده از مدل به کار رفته در مرجع [15] تحلیل حساسیت و رتبه بندی پارامترهای هندسی انجام می گردد.

#### 4- معرفی مدل

مدلی که در این پژوهش برای برداشت انرژی با آلیاز حافظه دار مغناطیسی از مرجع [15] انتخاب شده است.

این مدل بخش شامل یک تیر دو سر در گیر تحت بار ضربه ای است در حالی که آلیاز با سیم پیچ اطراف آن توسط یک صفحه اتصال دهنده با رفتار الاستیک در بالا و پایین روی تیر نصب می شوند. در "شکل 1" شماتیک برداشت کننده انرژی نشان داده شده است.

تغییر کرنش در آلیاز در این مدل با اعمال بار ضربه ای به وسط تیر صورت می گیرد. با ارتعاش تیر در اثر اعمال ضربه، کرنش های طولی در تیر و



شکل 1 شماتیک برداشت کننده انرژی [15]

- ✓ باید پایدار باشد. یعنی با استفاده از داده‌های نمونه مختلف و شبیه‌سازی آن‌ها نتایج یکسانی ارائه دهد.
- ✓ باید مستقل از زمان‌های مختلف خروجی باشد. یعنی باید لحظه خاصی از فضای خروجی را در نظر بگیرد تا تحلیل حساسیت را برای مدل در تمامی حالات ارائه دهد.

برای اطلاع از جزئیات معادلات می‌توان به مرجع [15] مراجعه کرد.

## 5- تحلیل حساسیت و شاخص تحلیل حساسیت

$$\text{در این مقاله مدل عددی را به صورت تابع معادله (1) در نظر می‌گیریم.}$$

$$y = f(X)$$

بردار ورودی‌ها به صورت  $X = |x_1, x_2, \dots, x_M| \in x \subseteq R^M$  تعریف می‌شود. در این تعریف  $x_i$ ‌ها دارای مقادیر اسکالر بوده و تابع  $f$  نماینده مدل می‌باشد. این تابع می‌تواند صریح‌آمده باشد. در این تابع  $x_i$  ارائه شده باشد یا با حل عددی مدل شبیه‌سازی شده، محاسبه شود. بدین ترتیب  $y$  خروجی مدل بوده و به عنوان یک متغیر اسکالر نماینده تمام پیچیدگی‌های مدل می‌باشد. تحلیل حساسیت<sup>۱</sup> به بررسی نسبی سهم هر یک از ورودی‌ها ( $x_i$ ) در عدم قطعیت ناشی از تغییرپذیری خروجی مدل ( $y$ ) می‌پردازد. بدین ترتیب تحلیل حساسیت محلی، عدم قطعیت‌های ناشی از تغییرات ورودی را در اطراف یک نقطه خاص  $X$  در نظر می‌گیرد اما تحلیل حساسیت کلی عدم قطعیت‌ها را در کل فضای امکان‌سنگی در نظر می‌گیرد.

در این مقاله بر تحلیل حساسیت کلی تمرکز می‌کنیم. معمولاً در آنالیز تحلیل حساسیت کلی سه هدف خاص دنبال می‌شود که عبارتند از [16]:

اولویت‌بندی عامل‌ها (FP): با هدف رتبه‌بندی ورودی‌های  $x_i$  از نظر

سهم نسبی آن‌ها در عدم قطعیت خروجی

ثابت کردن عامل‌ها (FF): یا غربالگری با هدف شناسایی ورودی‌هایی که بر عدم قطعیت خروجی تاثیر نمی‌گذارند.

نگاشت عامل‌ها (FM): با هدف تعیین مناطقی در فضای ورودی که خروجی خاصی را تولید می‌کنند.

در تحلیل حساسیت با هدف FF و FP معمولاً از شاخص‌های حساسیت استفاده می‌شود. شاخص حساسیت صفر نشانه عدم تأثیر در خروجی (مناسب برای FF) و شاخص حساسیت بالا نشانه تأثیر زیاد بر خروجی است (مناسب برای FP).

در مراجع ویژگی‌های شاخص حساسیت کلی "خوب" به صورت زیر ارائه شده است [19-17].

✓ باید کلی باشد یعنی برای تحلیل حساسیت کلی باید تمام فضای ورودی را شامل شود.

✓ باید قابل شمارش باشد یعنی با یک روش تکرارپذیر قابل محاسبه باشد.

✓ باید مستقل از مدل باشد یعنی وابسته به تعریف مدل نباشد (چه مدل خطی، غیرخطی یا ... باشد).

✓ باید نسبت به هر ورودی بی‌شرط باشد. یعنی مقدار یک یا چند ورودی ثابت در نظر گرفته نشوند.

✓ باید تفسیر کردن آن راحت باشد. یعنی بتواند تصویر روشن و واضحی از تأثیر پارامترها بدهد.

✓ باید به راحتی قابل محاسبه باشد. یعنی روند به دست آوردن آن پیچیده نباشد.

توضیح این که در روش استفاده شده در این مقاله ممکن است این روند به دلیل اجرای زیاد مدل و نیاز به داده‌های زیاد، زمان بر باشد اما باز هم به راحتی قابل مقایسه است، زیرا بعد از بدست آوردن  $y$ ها می‌توان با معادلات جبری ساده شاخص‌های حساسیت را به دست آورد.

## 6- شاخص تحلیل حساسیت PAWN

شاخص‌های حساسیت مبتنی بر تراکم، حساسیت را با برآورد تغییراتی که به واسطه حذف عدم قطعیت یک ورودی یا بیشتر در خروجی ایجاد می‌شود، اندازه‌گیری می‌کنند.

به طوری که حساسیت نسبت به متغیر  $x_i$  را با اندازه‌گیری فاصله منحنی توزیع احتمال خروجی در حالت تغییر تمامی ورودی‌ها و حالت ثابت در نظر گرفتن متغیر  $x_i$  انجام می‌دهند. در این مقاله از روش جدید PAWN (برگرفته شده از نام ارائه‌دهندگان) [20] برای بهبود استفاده از روش‌های مبتنی بر تراکم استفاده می‌شود. ایده اصلی این روش استفاده از توزیع‌های تجمعی به دلیل راحت بودن تقریب در محاسبه فاصله بین حالت بدون شرط و مشروط (ثابت بودن متغیر  $x_i$ ) است. بدین ترتیب تکرار محاسبات برای سنجش شاخص در حالات مختلف آسان می‌گردد.

برای محاسبه فاصله بین حالت بدون شرط و مشروط از آمار کولموگروف- اسمیرنوف [21] استفاده می‌کنیم. با استفاده از این روش فاصله بسته آمده بدون توجه به محدوده خروجی  $y$  همواره بین ۰ و ۱ است. همچنین هنگامی که هدف تحلیل حساسیت FF باشد، می‌توان از نتایج آماری آزمون دو-نمونه کولموگروف-اسمیرنوف [22] برای تعیین ورودی‌های غیرموثر با سطح اطمینان موردنظر استفاده کرد.

در ادامه تابع توزیع تجمعی خروجی  $y$  را در حالت بدون شرط با  $F_y(y)$  و در حالت مشروط به ثابت در نظر گرفتن ورودی  $x_i$  با  $F_{y|x_i}(y)$  نشان می‌دهیم. بدین ترتیب  $(F_{y|x_i}(y) - F_y(y))$  نماینده اتفاقاتی است که با حذف تغییرات ورودی  $x_i$  افتاد و فاصله آن با  $y$  نماینده‌ای از اثر ورودی  $x_i$  بر  $y$  می‌باشد. "شکل 2" نشان می‌دهد [20]. در "شکل 2" خط چین نشان‌دهنده تابع تجمعی خروجی برای حالت بدون شرط و نمودارهای دیگر نشان‌دهنده حالت ثابت نگهداشتن ورودی  $x_i$  در سطوح مختلف است. در "شکل 2-(الف)" حذف عدم قطعیت‌ها نسبت به ورودی  $x_i$  بر  $y$  تأثیری ندارد و می‌توان نتیجه گرفت که ورودی  $x_i$  بر  $y$  تأثیری ندارد. هنگامی که فاصله بین منحنی بدون شرط و منحنی مشروط افزایش می‌یابد تأثیر ورودی  $x_i$  افزایش می‌یابد. بدین ترتیب در "شکل 2-(ب)" ورودی  $x_i$  بر خروجی تأثیر دارد. روش مقایسه تأثیر این ورودی نسبت به ورودی‌های دیگر در ادامه توضیح داده می‌شود. همان‌طور که گفته شد برای محاسبه فاصله از آمار کولموگروف-اسمیرنوف طبق معادله (6) استفاده می‌کنیم.

$$KS(x_i) = \max_y |F_y(y) - F_{y|x_i}(y)| \quad (6)$$

از آنجایی که  $KS$  به مقداری که ورودی  $x_i$  را در آن ثابت در نظر گرفته‌ایم وابسته است، شاخص حساسیت PAWN که با  $T_i$  نشان داده می‌شود به عنوان آماره (بیشترین یا میناگین) تمامی حالاتی که  $x_i$  می‌تواند داشته باشد، به صورت معادله (7) تعریف می‌شود.

$$T_i(x_i) = \text{stat}[KS(x_i)] \quad (7)$$

با این تعریف:

$T_i$  بین ۰ و ۱ تغییر می‌کند.

<sup>1</sup> Sensitivity Analysis (SA)

<sup>2</sup> Factor Prioritization

<sup>3</sup> Factor Fixing

<sup>4</sup> Factor Mapping

نشان می‌دهد. بدین ترتیب تعداد کل اجراهایی که از مدل برای  $M$  ورودی و محاسبه شاخص‌های PAWN از معادله (9) باید گرفته شود برابر است با  $N_u \times N_c \times M$ . این نکته قابل ذکر است که مقادیر  $n$  و  $N_u$  و  $N_c$  با سعی و خطا بددست می‌آیند. از آنجایی که  $n$  تعداد نمونه انتخاب شده برای متغیر ثابت در نظر گرفته شده است و از فضایی یکبعدی انتخاب می‌شود، منطقی است که عددی کوچک‌تر از بقیه مقادیر باشد (مقداری بین 10 تا 50).

در ترتیب فضایی همه ورودی‌ها و فضای همه ورودی‌ها به جز ورودی ثابت هستند. با توجه به سادگی محاسبه شاخص PAWN، مقاوم بودن روش نسبت به مقادیر انتخاب شده  $N_u$  و  $N_c$  به راحتی با اجرای مجدد محاسبات و نمونه‌گیری مجدد با اندازه‌های جدید تخمین زده می‌شود.

#### 8- آزمون دو-نمونه ای کولموگروف-اسمیرنوف

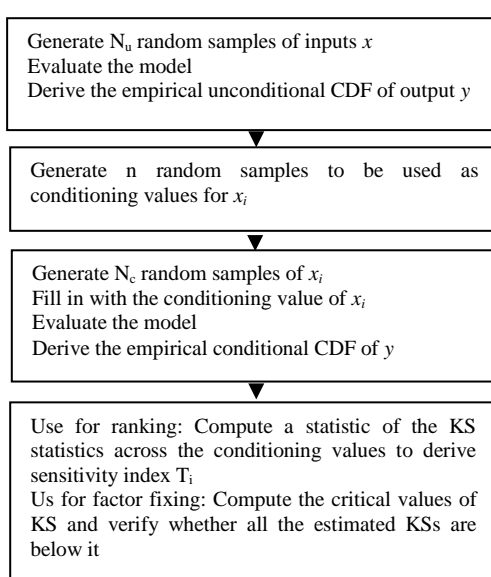
در تحلیل حساسیت با هدف ثابت کردن عامل‌ها (FF)، روش PAWN در کنار آزمون دو-نمونه‌ای کولموگروف-اسمیرنوف مورد استفاده قرار می‌گیرد. طبق این آزمون فرض برابری دو نمونه  $(F_y(0), F_{y|x_i}(0))$  هنگامی رد می‌شود که معادله (10) برقرار باشد [20].

$$K\hat{S} > c(\alpha) \sqrt{\frac{N_u + N_c}{N_u N_c}} \quad (10)$$

در معادله (10)،  $K\hat{S}$  فاصله کولموگروف-اسمیرنوف بین دو توزيع تجمعی تجربی،  $N_u$  و  $N_c$  تعداد نمونه‌هایی است که برای ساخت تابع توزيع تجمعی تجربی استفاده شده‌اند،  $\alpha$  سطح اطمینان موردنظر و مقدار بحرانی  $c$  از جداول ارائه شده در مرجع [22] محاسبه می‌شود.

با رد فرض برابری دو نمونه، نتیجه می‌شود که ورودی  $x_i$  در خروجی مؤثر است. و اگر در تمام  $n$  حالت از ورودی  $x_i$  فرض برابری رد نشود، آنگاه ورودی  $x_i$  در خروجی بی تأثیر است.

یکی دیگر از مزیت‌های استفاده از روش شاخص PAWN این است که می‌توان آنالیز حساسیت را در محدوده مشخصی از خروجی بررسی کرد. برای مثال اگر بخواهیم آنالیز حساسیت را محدوده‌ای که  $y > 50$  انجام



**Fig. 3** The steps in the numerical implementation of the PAWN index [20]

شکل ۳ مراحل محاسبه شاخص حساسیت [20] PAWN

✓ هرچه مقدار  $T_i$  کمتر باشد تأثیر  $x$  کمتر است.

✓ اگر  $T_i = 0$  باشد ورودی  $x$  تأثیری بر خروجی ندارد.

شاخص PAWN برای هر دو حالت اولویت‌بندی عامل‌ها (FP) و ثابت کردن عامل‌ها (FF) مناسب است. این شاخص تمامی شرایطی که برای یک شاخص خوب گفته شد، دارا می‌باشد. در حقیقت این شاخص: کلی، قابل شمارش و مستقل از مدل می‌باشد. همچنین اثر واپتگی به شرایط KS با استفاده از آماره آن (بیشترین یا میانگین) نسبت به  $x$  حذف می‌گردد. این شاخص برای تفسیر بسیار آسان است چون به عنوان فاصله تعريف شده است و مقدار عددی آن به واحد اندازه‌گیری  $y$  وابسته نیست. محاسبه کردن این شاخص آسان است و بدین ترتیب آنالیز پایداری آن امکان‌پذیر می‌باشد [20].

#### 7- اجرای عددی روش تحلیل حساسیت PAWN

از آنجایی که محاسبه تحلیلی شاخص  $T_i$  در بیشتر موارد غیرممکن یا بسیار سخت است، استفاده از تقریب ارائه شده در معادله (8) توصیه می‌شود.

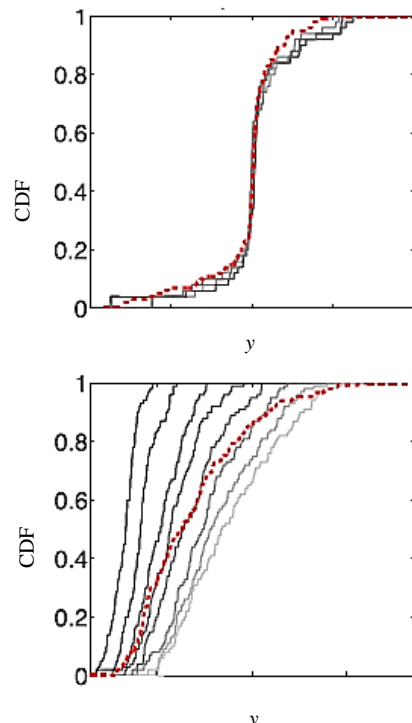
$$K\hat{S}(x_i) = \max_y |\hat{F}_y(y) - \hat{F}_{y|x_i}(y)| \quad (8)$$

بدین ترتیب معادله (6) به صورت معادله (8) تقریب زده می‌شود. که در آن  $(0, F_y(0))$  به ترتیب تابع تجربی توزیع تجمعی بدون شرط و  $N_c$  با  $F_{y|x_i}(0)$  نمونه از تمام فضای ورودی و  $N_u$  با  $F_{y|x_i}(0)$  ثابت در نظر گرفته شده است، تقریب زده می‌شوند.

بدین ترتیب معادله (7) نیز به صورت معادله (9) خواهد بود.

$$\hat{T}_i(x_i) = \underset{x_i=x_i^{(1)}, \dots, x_i^{(n)}}{\text{stat}} [K\hat{S}(x_i)] \quad (9)$$

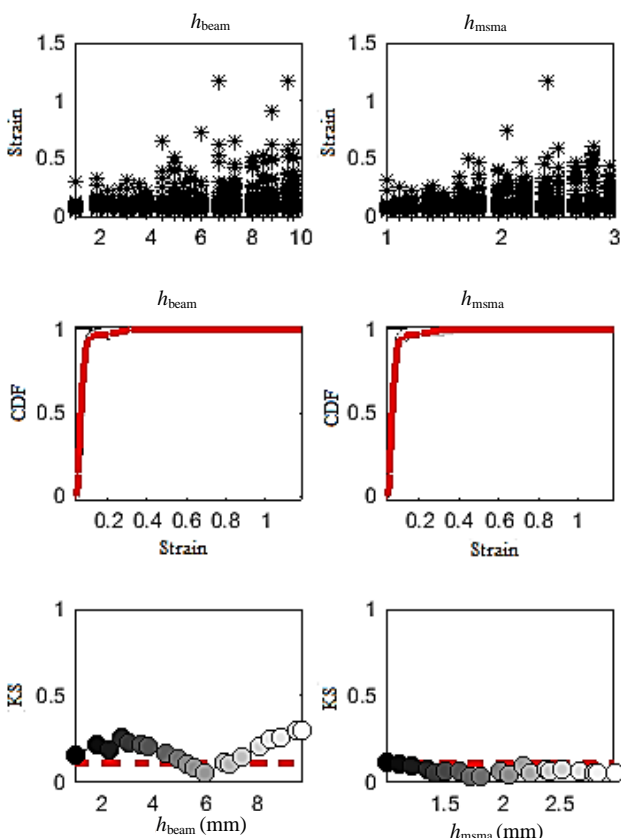
که در آن آماره، با توجه به  $n$  نمونه تصادفی ثابت برای ورودی  $x_i$  محاسبه خواهد شد. "شکل 3" مراحل محاسبه عددی شاخص PAWN را



**Fig. 2** Two illustrative examples of Cumulative Distribution Functions (CDFs) of the model output  $y$  [20]

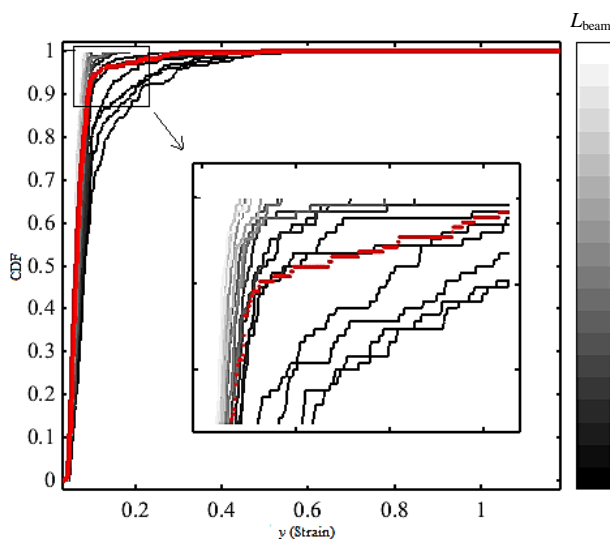
شکل ۲ دو مثال از تابع توزیع تجمعی خروجی مدل  $y$  [20]

اسمیرنوف در حالت  $\alpha=0.05$  که در ردیف سوم "شکل 4" نشان داده شده



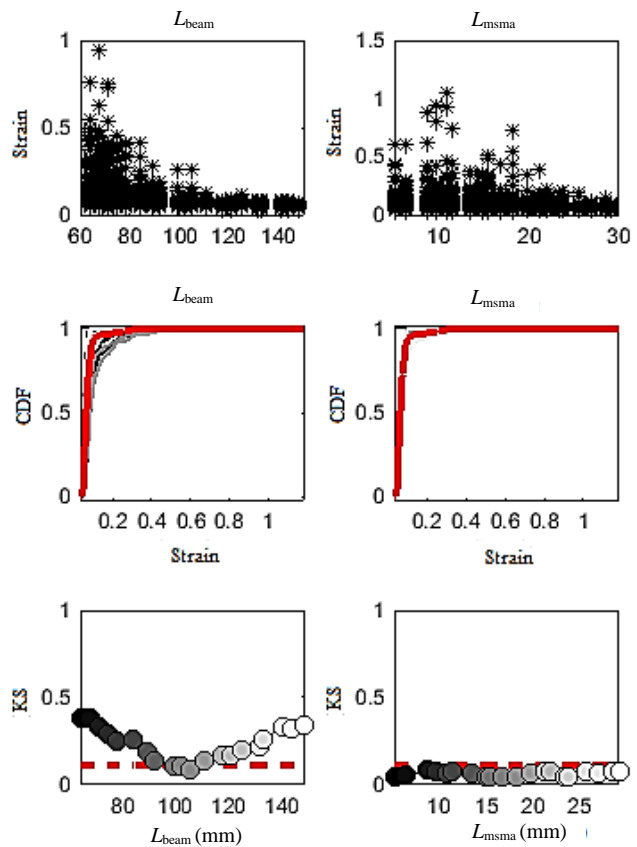
**Fig. 5** The third and fourth inputs. Top panels: scatter plots of the model. Middle panels: empirical unconditional output distribution and conditional ones. Bottom panels: Kolmogorov-Smirnov statistic at different conditioning values of  $x_i$ .

شکل 5 ورودی های دوم و سوم، ردیف اول؛ نمودارهای پراکندگی، ردیف دوم؛ مقایسه توانایی توزیع تجمعی تجربی در حالت مشروط و بدون شرط، ردیف سوم؛ فاصله کولموگروف-اسمیرنوف در مقادیر مختلف  $x_i$ .



**Fig. 6** Empirical unconditional output distribution and conditional ones for length of beam

شکل 6 مقایسه توانایی توزیع تجمعی تجربی در حالت مشروط و بدون شرط، برای طول تیر



**Fig. 4** The first and second inputs. Top panels: scatter plots of the model. Middle panels: empirical unconditional output distribution and conditional ones. Bottom panels: Kolmogorov-Smirnov statistic at different conditioning values of  $x_i$ .

شکل 4 ورودی های اول و دوم، ردیف اول؛ نمودارهای پراکندگی، ردیف دوم؛ مقایسه توابع توزیع تجمعی تجربی در حالت مشروط و بدون شرط، ردیف سوم؛ فاصله کولموگروف-اسمیرنوف در مقادیر مختلف  $x_i$ .

دھیم معادله (8) به صورت معادله (11) خواهد بود.

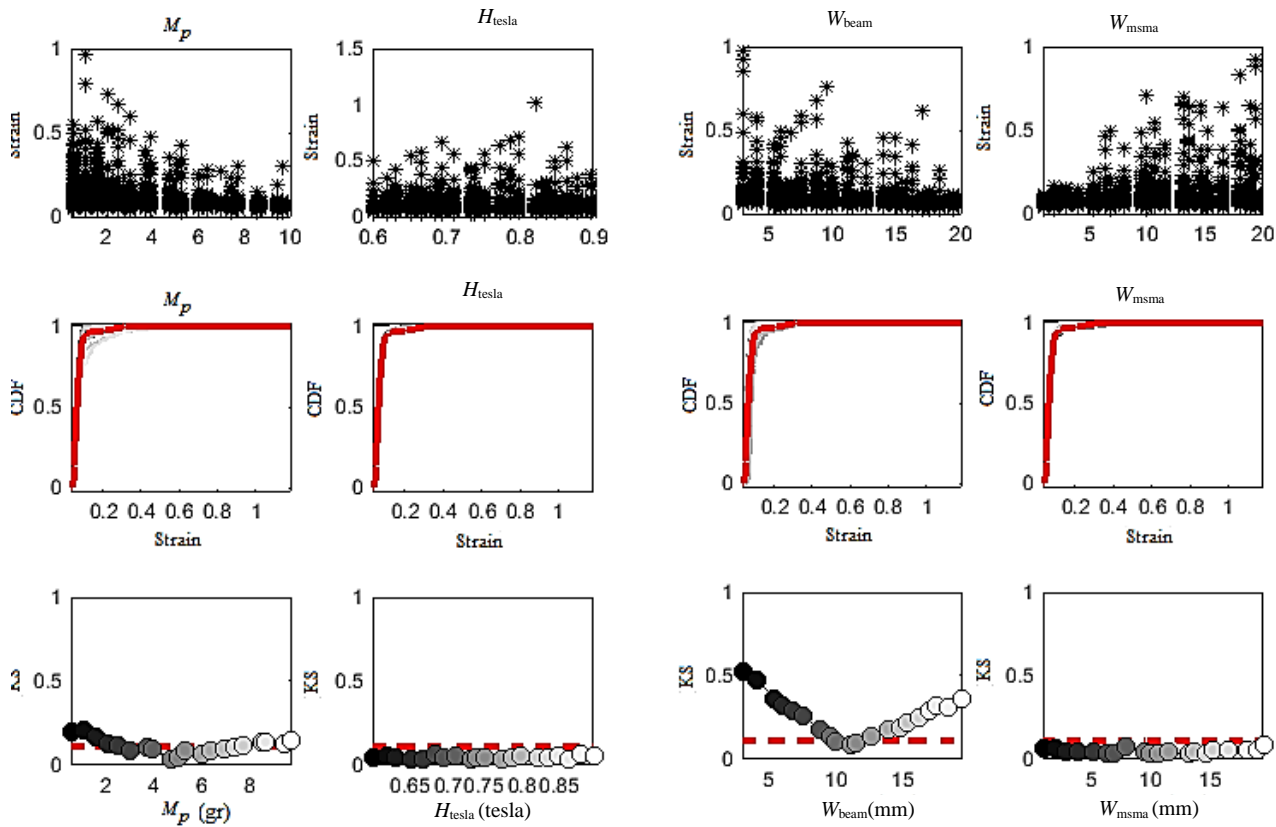
$$K\hat{S}(x_i) = \max_{y>50} |\hat{F}_y(y) - \hat{F}_{y|x_i}(y)| \quad (11)$$

ذکر این نکته ضروری است: از آن جایی که محاسبه شاخص PAWN با روش های آسانی انجام می شود نیاز به نمونه گیری مجدد نیست و می توان با نمونه های بدست آمده از اجرای الگوریتم، در محدوده موردنیاز آنالیز حساسیت را انجام داد.

## 9-نتایج و بحث

بعد از ارائه مدل و توضیح روش تحلیل حساسیت PAWN در این بخش نتایج تحلیل برداشت کننده انرژی مطابق "شکل های 4 تا 8" ارائه می شود. محدوده متغیرها به صورت جدول 1 تعریف شده است.

برای تحلیل نمودارهای رسم شده ابتدا نمودارهای ورودی اول (طول تیر) را مورد بررسی قرار می دهیم. با توجه به نمودار ردیف اول در "شکل 4"، هرچه طول تیر در سطوح های مختلف تغییر می کند، مقدار خروجی مدل نیز تغییر محسوسی خواهد داشت. در این شکل با تغییر طول تیر، تأثیر کرنش های خاصی تجمع کرده اند. بدین ترتیب تغییر در میزان طول تیر، تأثیر چشمگیری در خروجی خواهد داشت. در "شکل 6" این اختلاف بهتر نمایش داده است. این نکته نشان دهنده تأثیرگذاری زیاد تغییرات ورودی موردنظر بر خروجی است. با استفاده از آزمون دو-نمونه ای کولموگروف-



**Fig. 8** The seventh and eighth inputs. Top panels: scatter plots of the model. Middle panels: empirical unconditional output distribution and conditional ones. Bottom panels: Kolmogorov-Smirnov statistic at different conditioning values of  $x_i$ .

شکل 8 ورودی‌های هفتم و هشتم، ردیف اول؛ نمودارهای پراکندگی، ردیف دوم؛ مقایسه توابع توزیع تجمعی تجربی در حالت مشروط و بدون شرط، ردیف سوم؛ فاصله کولموگروف-اسمیرنوف در مقادیر مختلف  $x_i$

ورودی‌های دیگر بسیار کم است. همچنین با توجه به آزمون دونمونه‌ای کولموگروف-اسمیرنوف در حالت  $\alpha = 0.05$ ، می‌توان از تأثیر تغییرات این ورودی‌ها در خروجی، صرفنظر کرد و آن‌ها را ثابت در نظر گرفت. ورودی سوم و پنجم نیز مشابه ورودی اول در خروجی تأثیر چشم‌گیری دارند. ورودی هفتم از ورودی‌های تأثیرگذار، تأثیرگذار، تأثیرگذار، تأثیرگذار، تأثیرگذار، اما این تأثیر طبق معیار به حدی نیست که بتوان این ورودی هفتم را ثابت در نظر گرفت.

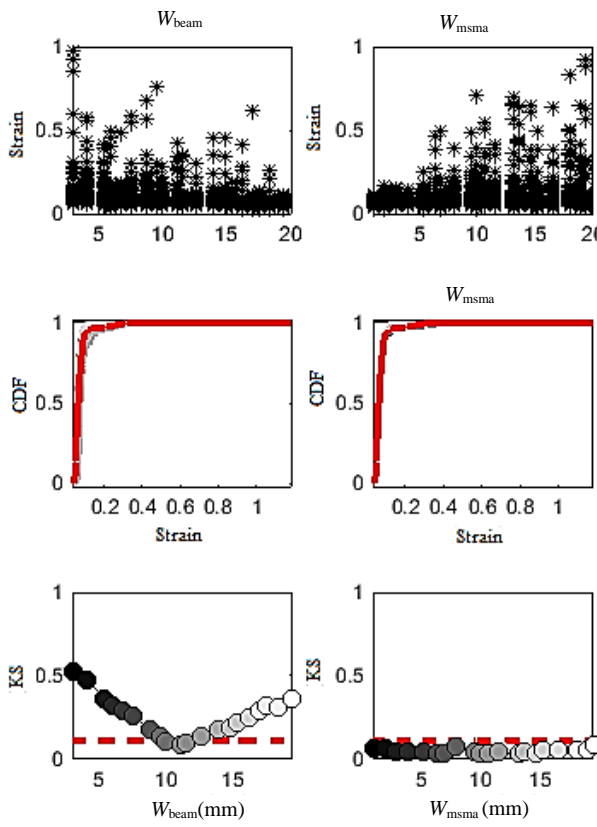
#### 10- شاخص‌های تحلیل حساسیت PAWN

بعد از بررسی تأثیر ورودی‌ها در سطوح مختلف بر کرنش پیش‌بینی شده، در این قسمت تحلیل حساسیت PAWN برای تحلیل میزان حساسیت کرنش و RMS<sup>۳</sup> ولتاژ خروجی آمده است. مقدار تغییرات میدان مغناطیسی به‌طور مستقیم با کرنش اعمال شده به آلیاز رابطه دارد. همچنین ابعاد آلیاز که تشکیل‌دهنده سطح مقطع عبوری شار مغناطیسی است، تأثیر زیادی بر خروجی خواهد داشت. موارد ذکر شده در جدول 2 و "شکل‌های 9 و 10" قابل مشاهده است.

#### 11- نتیجه‌گیری

در این مقاله خروجی یک مدل برداشت‌کننده انرژی در حالت کوپل با آلیاز

<sup>3</sup> Root Mean Square



**Fig. 7** The fifth and sixth inputs. Top panels: scatter plots of the model. Middle panels: empirical unconditional output distribution and conditional ones. Bottom panels: Kolmogorov-Smirnov statistic at different conditioning values of  $x_i$ .

شکل 7 ورودی‌های پنجم و ششم، ردیف اول؛ نمودارهای پراکندگی، ردیف دوم؛ مقایسه توابع توزیع تجمعی تجربی در حالت مشروط و بدون شرط، ردیف سوم؛ فاصله کولموگروف-اسمیرنوف در مقادیر مختلف  $x_i$

جدول 1 معرفی متغیرهای طراحی و محدوده آن‌ها

**Table 1** Design variables and their boundaries

پارامتر	نماینده	حد پایین <sup>۲</sup>	حد بالا <sup>۱</sup>
طول تیر	$L_{beam}$ (mm)	60	150
طول آلیاز	$L_{msma}$ (mm)	5	30
ارتفاع تیر	$h_{beam}$ (mm)	1	10
ارتفاع آلیاز	$h_{msma}$ (mm)	1	3
عرض تیر	$w_{beam}$ (mm)	3	20
عرض آلیاز	$w_{msma}$ (mm)	1	20
جرم محک	$M_p$ (gr)	0.5	10
میدان بایاس	$H$ (tesla)	0.6	0.9

است، می‌توان میزان تأثیر هر ورودی در هر سطح را بر خروجی مدل مشخص کرد.

با توجه به این که وقتی طول تیر در سطوح‌های میانی قرار دارد، مقدار فاصله کولموگروف-اسمیرنوف بین دو توزیع تجمعی تجربی کمتر از مقدار موردنظر است، هنگامی که این ورودی در سطوح میانی قرار دارد می‌توان از تأثیر تغییرات آن بر خروجی صرفنظر کرد.

مشابه تحلیل انجام شده برای ورودی اول، می‌توان دریافت که تأثیر تغییرات ورودی‌های دوم، چهارم، ششم و هشتم در خروجی نسبت به

<sup>1</sup> upper bound

<sup>2</sup> lower bound

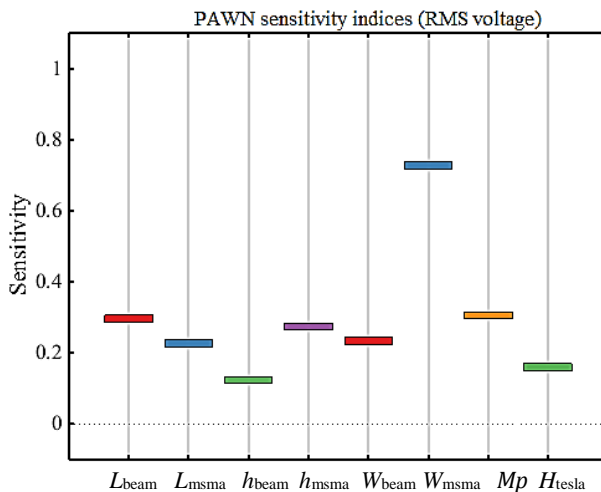


Fig. 10 Compute the PAWN index for RMS voltage

شکل 10 محاسبه شاخص حساسیت PAWN برای ولتاژ

- تأثیر زیادی بر کرنش خروجی و نتیجه خواهد گذاشت. (ممکن است کرنش در محدوده ای قرار گیرد که مدل نامعتبر گردد)
- در طراحی و بهینه‌سازی برداشت‌کننده با توجه به محدودیت‌های موردنیاز و در نظر گرفتن کرنش، می‌توان طول، ضخامت و عرض آلیاز را در محدوده ماقزیم و مینیموم بررسی شده و با معیار مورد نظر، ثابت در نظر گرفت.
  - در طراحی و بهینه‌سازی برداشت‌کننده با توجه به محدودیت‌های موردنیاز و در نظر گرفتن RMS ولتاژ، می‌توان ارتفاع تیر را در محدوده ماقزیم و مینیموم بررسی شده و با معیار موردنظر، ثابت در نظر گرفت.
  - در تحلیل RMS ولتاژ، اثر ورودی‌ها تغییر کرده است و این نشانه پیچیده بودن مدل و تاثیر ورودی‌ها بر یکدیگر است.
  - با درنظر گرفتن حساسیت‌های به دست آمده، و طبق شاخص تحلیل حساسیت PAWN رتبه‌بندی تاثیرگذارترین ورودی‌ها بر کرنش خروجی به ترتیب عبارتند از: عرض تیر، طول تیر، ارتفاع تیر، جرم محک، ارتفاع آلیاز، عرض آلیاز، طول آلیاز و میدان بایاس.
  - با در نظر گرفتن حساسیت‌های به دست آمده، و طبق شاخص تحلیل حساسیت PAWN رتبه‌بندی تاثیرگذارترین ورودی‌ها بر RMS ولتاژ خروجی به ترتیب عبارتند از: عرض آلیاز، جرم محک، طول تیر، ارتفاع آلیاز، عرض تیر، طول آلیاز، میدان بایاس و ارتفاع تیر

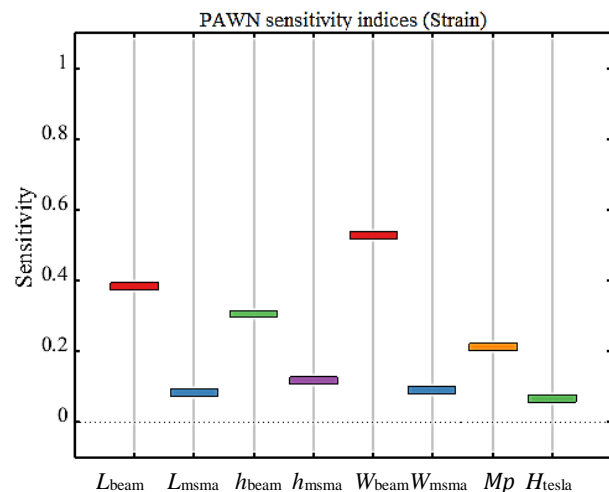


Fig. 9 Compute the PAWN index for strain

شکل 9 محاسبه شاخص حساسیت PAWN برای کرنش

Table 2 PAWN sensitivity indices

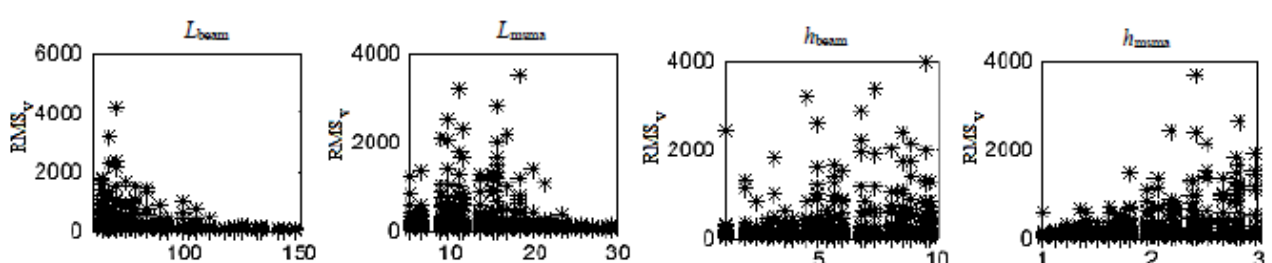
عنوان	شاخص حساسیت PAWN برای کرنش	شاخص حساسیت PAWN برای ولتاژ
طول تیر	0.3834	0.2960
طول آلیاز	0.0829	0.2280
ارتفاع تیر	0.3057	0.1234
ارتفاع آلیاز	0.1177	0.2743
عرض تیر	0.5291	0.2349
عرض آلیاز	0.0914	0.7269
جرم محک	0.2126	0.3063
میدان بایاس	0.0674	0.1600

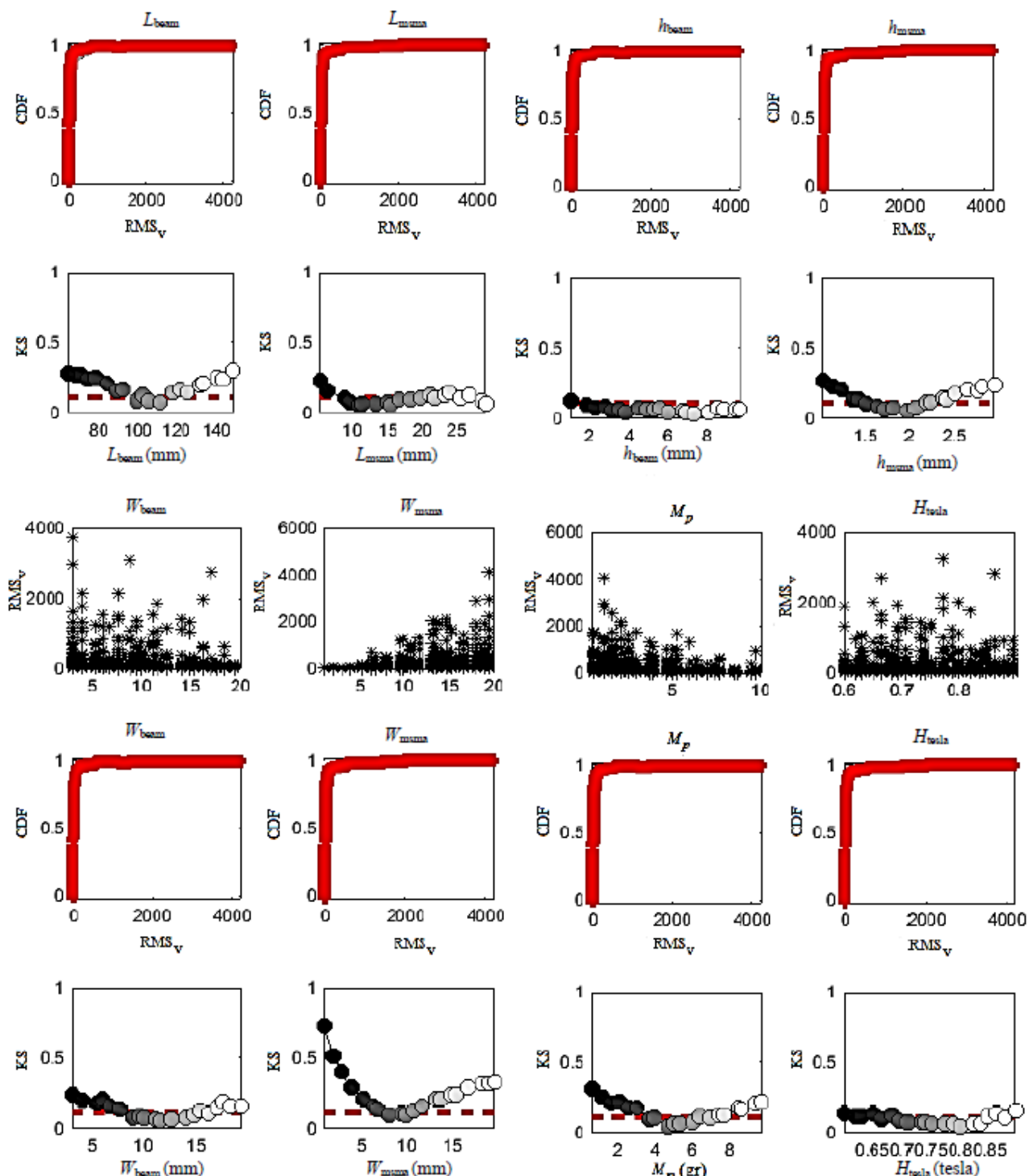
حافظه دار و روش PAWN به عنوان روشی کارآمد و آسان برای تحلیل حساسیت کلی معرفی گردید. سپس آنالیز حساسیت هر یک از ورودی‌ها بر مقدار کرنش خروجی از مدل با روش ذکر شده انجام شد و در نهایت با توجه به لزوم بررسی ولتاژ در برداشت کننده‌های انرژی تحلیل حساسیت ولتاژ خروجی انجام گرفت.

از آنچه که در این تحقیق انجام شد نتیجه می‌شود که:

- چنانچه ساخت برداشت کننده انرژی در مدل تیر دوسرگیردار به همراه قطعات آلیاز حافظه دار مغناطیسی انجام شود، مقدار عرض تیر بیشترین تاثیر را در کرنش خروجی دارد و هرگونه اشتباه در این بعد،

## 12- ضمیمه





**Fig. 11** Result for RMS voltage. Top panels: scatter plots of the model. Middle panels: empirical unconditional output distribution and conditional ones. Bottom panels: Kolmogorov-Smirnov statistic at different conditioning values of  $x_i$ .

شکل ۱۱ تابع برای RMS ولتاژ. ردیف اول؛ نمودارهای پراکندگی، ردیف دوم؛ مقایسه توابع توزیع تجمعی تجربی در حالت مشروط و بدون شرط، ردیف سوم؛ فاصله کولموگروف- اسمیرنوف در مقادیر مختلف  $x_i$

1, pp. 28-36, 2005.

- [4] S. R. Anton, D. J. Inman, Vibration energy harvesting for unmanned aerial vehicles, *The 15th International Symposium on: Smart Structures and Materials & Nondestructive Evaluation and Health Monitoring*, International Society for Optics and Photonics, pp. 692824-692824-12, 2008.
- [5] A. Abdelkefi, M. R. Hajj, A. H. Nayfeh, Sensitivity analysis of piezoaeroelastic energy harvesters, *Journal of Intelligent Material Systems and Structures* Vol. 23, No. 13, pp. 1523-1531, 2012.
- [6] S. B. Ayed, A. Abdelkefi, F. Najar, M. R. Hajj, Design and performance of variable-shaped piezoelectric energy harvesters, *Journal of Intelligent Material Systems and Structures*, Vol. 25, No. 2, pp. 174-186, 2014.

### 13- مراجع

- [1] T. Ng, W. Liao, Sensitivity analysis and energy harvesting for a self-powered piezoelectric sensor, *Journal of Intelligent Material Systems and Structures*, Vol. 16, No. 10, pp. 785-797, 2005.
- [2] J. M. Rabaey, M. J. Ammer, J. L. da Silva, D. Patel, S. Roundy, PicoRadio supports ad hoc ultra-low power wireless networking, *Computer*, Vol. 33, No. 7, pp. 42-48, 2000.
- [3] S. Roundy, E. S. Leland, J. Baker, E. Carleton, E. Reilly, E. Lai, B. Otis, J. M. Rabaey, P. K. Wright, V. Sundararajan, Improving power output for vibration-based energy scavengers, *IEEE Pervasive Computing*, Vol. 4, No.

- harvester using magnetic shape memory alloy, *Smart Materials and Structures*, Vol. 25, No. 10, pp. 105024, 2016.
- [15] H.Sayyaadi, M.Effatpanah, M.A. Askari Farsangi, Optimization of energy harvesting from vibration of beam coupled with magnetic shape memory alloys, *Modares Mechanical Engineering*, Vol. 16, No. 12, pp. 675-684, 2016. (in Persian) (فارسی)
- [16] A. Saltelli, M. Ratto, T. Andres, F. Campolongo, J. Cariboni, D. Gatelli, M. Saisana, S. Tarantola, *Global Sensitivity Analysis: The Primer*, pp. 10-40, New York: Wiley, 2008.
- [17] Q. Liu, T. Homma, A new computational method of a moment-independent uncertainty importance measure, *Reliability Engineering & System Safety*, Vol. 94, No. 7, pp. 1205-1211, 2009.
- [18] A. Saltelli, Sensitivity analysis for importance assessment, *Risk Analysis*, Vol. 22, No. 3, pp. 579-590, 2002.
- [19] R. L. Iman, S. C. Hora, A robust measure of uncertainty importance for use in fault tree system analysis, *Risk Analysis*, Vol. 10, No. 3, pp. 401-406, 1990.
- [20] F. Pianosi, T. Wagener, A simple and efficient method for global sensitivity analysis based on cumulative distribution functions, *Environmental Modelling & Software*, Vol. 67, pp. 1-11, 2015.
- [21] M. A. Stephens, *Introduction to Kolmogorov (1933) On the Empirical Determination of a Distribution*, in: S. Kotz, N. L. Johnson, *Breakthroughs in Statistics: Methodology and Distribution*, Eds., pp. 93-105, New York, NY: Springer New York, 1992.
- [22] J. Wall, Practical statistics for astronomers-II. correlation, data-modelling and sample comparison, *Quarterly Journal of the Royal Astronomical Society*, Vol. 37, pp. 519, 1996.
- [7] Z. Yan, A. Abdelkefi, M. R. Hajj, Piezoelectric energy harvesting from hybrid vibrations, *Smart Materials and Structures*, Vol. 23, No. 2, pp. 025026, 2014.
- [8] H. R. N. H. Sayyaadi, M. A. Askari Farsangi, An investigation on effectiveness of dimension on Magnetic Shape Memory Alloy based energy harvester with two different configurations, *Modares Mechanical Engineering*, Vol. 17, No. 1, pp. 136-144, 2017. (in Persian) (فارسی)
- [9] I. Karaman, B. Basaran, H. Karaca, A. Karsilayan, Y. Chumlyakov, Energy harvesting using martensite variant reorientation mechanism in a NiMnGa magnetic shape memory alloy, *Applied Physics Letters*, Vol. 90, No. 17, pp. 172505, 2007.
- [10] N. N. Sarawate, *Characterization and Modeling of the Ferromagnetic Shape Memory Alloy Ni-Mn-Ga for Sensing and Actuation*, Thesis, The Ohio State University, 2008.
- [11] N. M. Bruno, *Energy Harvesting Using Martensitic Variant Reorientation in Ni<sub>50</sub>Mn<sub>28.5</sub>Ga<sub>21.5</sub> Magnetic Shape Memory Alloy*, Thesis, Northern Arizona University, 2011.
- [12] I. Nelson, C. Ciocanel, D. LaMaster, H. Feigenbaum, The Impact of Boundary Conditions on the Response of NiMnGa Samples in Actuation and Power Harvesting Applications, *ASME 2013 Conference on Smart Materials*, American Society of Mechanical Engineers, pp. V001T01A021-V001T01A021, 2013.
- [13] A. Saren, D. Musienko, A. Smith, J. Tellinen, K. Ullakko, Modeling and design of a vibration energy harvester using the magnetic shape memory effect, *Smart Materials and Structures*, Vol. 24, No. 9, pp. 095002, 2015.
- [14] H. S. M. A. Askari Farsangi, M. R. Zakerzadeh, A novel inertial energy